

II-13 弾塑性解析に用いる変形法の基本式の誘導について

九州大学 教授 山崎徳也
同 大学院・石川信隆

1. 緒言

従来の弾塑性領域における曲げモーメントのみを考慮した矩形ラーメンの解法には、K. H. Gerstle⁽¹⁾や Alfredo Hua-Sing Ang⁽²⁾などのM-中曲線を忠実に取り入れた精密解析および著者らの弾塑性たわみ角式による实用解法などがあるが、本論文では弾塑性領域における軸力の影響を考慮するため、曲げモーメントと軸力を同時に考慮した精密補足歪エネルギー式を導き、これを用いて変形法の基本式を誘導し、もって矩形等断面直線材よりなる多角形状の平面ラーメンを対象として弾塑性解析を行いうるごとくした。その解法骨子は変形法に基づく節点の釣合方程式およびたわみとたわみ角の連続条件式を用いることにより、節点の不静定力を繰り返し試算で算定する。なお座屈による影響は考慮しない。

2. 精密補足歪エネルギー式

弾塑性領域における曲げモーメントと軸力を考慮したM-中近似直線より实用補足歪エネルギー式を誘導した報告は別途に行つたが、その適用範囲は軸力を崩壊に至るまで一定とする構造物に限られる。したがつてここでは任意の漸増荷重に適用できる精密補足歪エネルギー式をオ1弾塑性およびオ2弾塑性状態にあるそれぞれの応力および歪分布を用いて算定する。すなわち単位長さ当たりの補足歪エネルギー式は、一般に $dU/ds = \iint \epsilon d\sigma dA$ で与えられるが、それぞれの状態ごとに異なる。

オ1弾塑性状態では図-1を用いて次式をうる。

$$\frac{dU}{ds} = \int_0^a \left(\int_0^c \epsilon d\sigma \right) b dy + \int_a^c \left(\int_0^c \epsilon d\sigma \right) b dy + \int_c^h \left(\int_0^c \epsilon d\sigma \right) b dy \\ = \frac{b \delta_y^2}{6E} \left[3c - 2a + \frac{(h-c)^3}{a^2} \right] \dots (1)$$

一方曲げモーメントと軸力は次式となる。

$$m = 3\beta - 3\beta^2 + (3\beta - 3/2)a - a^2 + (1/2 - 3\beta^2/2 + \beta^3)/a \quad (2)$$

$$n = \{2\beta a - a^2 - (1-\beta)^2\}/2a$$

ここに $m = M/M_y$, $n = N/N_y$, $a = d/h$, $\beta = c/h$

$M_y = b h^2 \delta_y / 6$ (降伏曲げモーメント), b : 矩形断面巾

$N_y = b h \delta_y$ (降伏軸力), δ_y : 降伏応力

よつて式(2)より β を消去して

$$2a = \frac{[3(1-n)-m]^2}{4(1-n)^3} \dots (3)$$

式(1)に式(2)および式(3)を代入すれば所要のエネルギー式は m と n の函数となる。

$$\frac{dU}{ds} = \frac{M_y^2}{2EI} \left[\frac{8(1-n)^3}{3(1-n)-m} + 3(2n-1) \right] \dots (1')$$

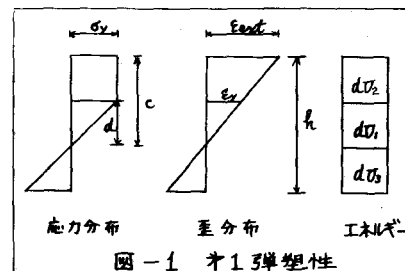


图-1 オ1弾塑性

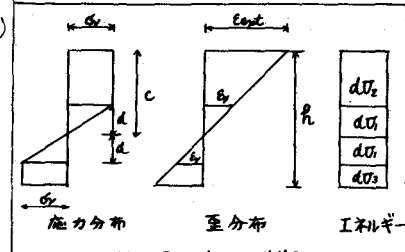


图-2 オ2弾塑性

第2弾塑性状態に対しても図-2を用いて次式をうる。

$$\frac{dU}{ds} = 2 \int_0^d (\int_0^s \varepsilon d\delta) b dy + \int_d^c (\int_0^s \varepsilon d\delta) b dy + \int_c^{h-d} (\int_0^s \varepsilon d\delta) b dy = \frac{b d \xi^2}{6 E} (3h - 4d) \quad \dots (4)$$

また曲げモーメント $m = 6\beta - 6\beta^2 - 2d^2$, 軸力 $n = 2\beta - 1$ より $2d = \sqrt{3 - 3n^2 - 2m}$ $\dots (5)$
式(5)を式(4)に代入すれば第2弾塑性状態におけるエネルギー式が次のとくえられる。

$$\frac{dU}{ds} = \frac{M_y^2}{2EI} \left[3 - 2\sqrt{3 - 3n^2 - 2m} \right] \quad \dots (4')$$

したがつて弾塑性領域にわたる所要の積層補足歪エネルギー式は式(1)および式(4')に弾性エネルギーを加味して次式であらわされる。

$$U = \frac{M_y^2}{2EI} \int_E (m^2 + 3n^2) ds + \frac{M_y^2}{2EI} \int_{P_1} \left\{ \frac{8(1-n)^3}{3(1-n)-m} + 3(2n-1) \right\} ds + \frac{M_y^2}{2EI} \int_{P_2} (3 - 2\sqrt{3 - 3n^2 - 2m}) ds \quad \dots (6)$$

ここに積分記号の添字E, P_1 , P_2 はそれぞれ部材の弾性, 第1弾塑性, 第2弾塑性の長さを示すものとする。

3. 基本式の誘導

平面ラーメンの任意の位置にある弾塑性部材A Bを考え、図-3のごとく流動座標 ξ - η 軸をとり、A, B両端より a_1 , つづいて a_2 まで, b_1 , つづいて b_2 までそれぞれ第2弾塑性領域および第1弾塑性領域が生ずるものとすれば、補足歪エネルギー式は式(6)より次式となる。

$$U = \left[\int_0^{a_1} (3 - \sqrt{3 - 3n^2 - 2m}) d\xi + \int_{a_1}^{a_2} \left\{ \frac{8(1-n)^3}{3(1-n)-m} + 3(2n-1) \right\} d\xi \right. \\ \left. + \int_{a_2}^{l-b_2} (m^2 + 3n^2) d\xi + \int_{l-b_2}^{l-b_1} \left\{ \frac{8(1-n)^3}{3(1-n)-m} + 3(2n-1) \right\} d\xi \right. \\ \left. + \int_{l-b_1}^l (3 - \sqrt{3 - 3n^2 - 2m}) d\xi \right] \frac{M_y^2}{2EI} \quad \dots (7)$$

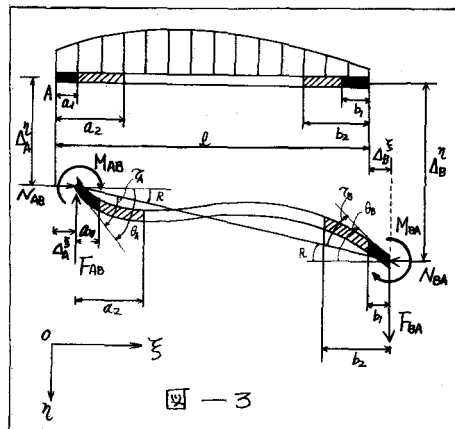


図-3

いまAB材が変形して釣合状態にあるものとすれば、任意の曲げモーメントおよび軸力は次式であたえられる。

$$M = F_{AB}\xi + M_{AB} + M_o(\xi), \quad N = N_{AB} \quad \dots (8)$$

ただし $F_{AB} = -(M_{AB} + M_{BA})/l$, $M_o(\xi)$ はAB材を単純ばかりと見做したときの荷重による任意の曲げモーメントを示す。

式(7)に式(8)を代入して変分原理を適用すれば、両端A, Bにおける切線角 θ_A , θ_B および部材伸縮 Δl が求まり、 $\tau_A = \theta_A - R$, $\tau_B = \theta_B - R$ に置換して次式をうる。

$$\left. \begin{aligned} \theta_A - R &= D_{AB} \\ \theta_B - R &= G_{AB} \\ \Delta l &= L_{AB} \end{aligned} \right\} \quad (9)$$

ここに式(9)の D_{AB} , G_{AB} , L_{AB} はそれぞれ A 端の端モーメント M_{AB} , せん断力 F_{AB} , 軸力 N_{AB} , さらに弾塑性領域のパラメータ a_1 , a_2 , b_1 , b_2 の函数で表一1のごとき内容をもつた、これらは Simpson 公式により数値積分を行うものとする。

また前記した m , n は式(8)の M および N をそれぞれ M_y および N_y で除した値に変る。

式(9)の R および Δl をそれぞれ両端の垂直および水平変位に変換したのち、流動座標 $\xi - \eta$ に対する方向余弦がそれぞれ α_1 , β_1 および α_2 , β_2 であるごとき固定座標 $x - y$ 軸に座標変換を行えば、変位および力は次のごとく示される。

$$R = (\Delta_B^x - \Delta_A^x)/l$$

$$\Delta l = (\Delta_B^y - \Delta_A^y)$$

$$\Delta \xi = \alpha_1 \Delta^x + \alpha_2 \Delta^y$$

$$\Delta \eta = \beta_1 \Delta^x + \beta_2 \Delta^y$$

$$N_{AB}^x = \alpha_1 N_{AB}^x + \alpha_2 F_{AB}^y$$

$$F_{AB}^x = \beta_1 N_{AB}^x + \beta_2 F_{AB}^y$$

$$F_{AB}^y = \beta_1 N_{AB}^y + \beta_2 F_{AB}^x$$

式(9)と式(10)を代入し、 N_{AB}^x , F_{AB}^x , Δ^x , Δ^y の代りに H_{AB} , T_{AB} , x , y を用いるものとし、節点 A に注目すれば固定座標 $x - y$ 軸に対する所要の変形法の基本式が次式であたえられる。

$$\theta_A = D_{AB} - G_{AB} + \theta_B$$

$$x_A = (\alpha_2 G_{AB} + \beta_2 L_{AB} - \alpha_1 \theta_B) / (\alpha_2 \beta_1 - \alpha_1 \beta_2) + x_B$$

$$y_A = (-\alpha_1 G_{AB} - \beta_1 L_{AB} + \alpha_1 \theta_B) / (\alpha_2 \beta_1 - \alpha_1 \beta_2) + y_B$$

ここに D_{AB} , G_{AB} , L_{AB} はそれぞれ M_{AB} , H_{AB} , T_{AB} , a_1 , a_2 , b_1 , b_2 の函数に変る。

5. 多角形平面ラーメンの弾塑性解析法

上記誘導の弾塑性領域を考慮した変形法の基本式を用うれば、図-4に示すごとき多角形平面ラーメンの弾塑性解析が可能となる。

すなはち節点 i における曲げモーメントおよび力の釣合より次式をうる。

$$M_{ii1} + M_{ii2} + \dots + M_{ie}^e = 0, \quad H_{ii1} + H_{ii2} + \dots + H_{ie}^e = 0, \quad T_{ii1} + T_{ii2} + \dots + T_{ie}^e = 0 \quad \dots \quad (12)$$

ここに M_{ie}^e , H_{ie}^e , T_{ie}^e はそれぞれ節点 i に作用する外力によるモーメントおよび x, y 方向の成分である。

またたわみ角およびたわみの連続条件より次式が成立する。

$$\theta_{ii1} = \theta_{ii2} = \dots, \quad x_{ii1} = x_{ii2} = \dots, \quad y_{ii1} = y_{ii2} = \dots \quad (13)$$

表 - 1

D_{AB}	$\int_0^{a_1} \Phi_2 \left(\frac{\xi - \xi}{l}\right) d\xi + \int_{a_1}^{a_2} \Phi_1 \left(\frac{\xi - \xi}{l}\right) d\xi + \int_{a_2}^{b_2} \Phi_2 \left(\frac{\xi - \xi}{l}\right) d\xi$ $+ \int_{b_2}^{b_1} \Phi_1 \left(\frac{\xi - \xi}{l}\right) d\xi + \int_{b_1}^l \Phi_2 \left(\frac{\xi - \xi}{l}\right) d\xi$
G_{AB}	$\int_0^{a_1} \Phi_2 \left(-\frac{\xi}{l}\right) d\xi + \int_{a_1}^{a_2} \Phi_1 \left(-\frac{\xi}{l}\right) d\xi + \int_{a_2}^{b_2} \Phi_2 \left(-\frac{\xi}{l}\right) d\xi$ $+ \int_{b_2}^{b_1} \Phi_1 \left(-\frac{\xi}{l}\right) d\xi + \int_{b_1}^l \Phi_2 \left(-\frac{\xi}{l}\right) d\xi$
L_{AB}	$3 \int_0^{a_1} \Phi_2 \cdot f d\xi + \int_{a_1}^{a_2} \Phi_1 \cdot f d\xi + 3 \int_{a_2}^{b_2} \Phi_2 \cdot f d\xi$ $+ \int_{b_2}^{b_1} \Phi_1 \cdot f d\xi + 3 \int_{b_1}^l \Phi_2 \cdot f d\xi + 3 f(a_2 - a_1 + b_2 - b_1)$

上記の中 Φ_E , Φ_{P_1} , Φ_{P_2} はそれぞれ弾性, 弾塑性, 強塑性の曲率を示し、または次式となる。 $\tau = M_y/N_y$,

$$\Phi_E = \frac{M_y}{EI} m, \quad \Phi_{P_1} = \frac{M_y}{EI} \cdot \frac{4(1-\tau)^3}{[3(1-\tau)-m]^2}$$

$$\Phi_{P_2} = \frac{M_y}{EI} \cdot \frac{1}{\sqrt{3-3m^2-2m}}, \quad f = -\frac{2(1-\tau)-m}{(1-\tau)}$$

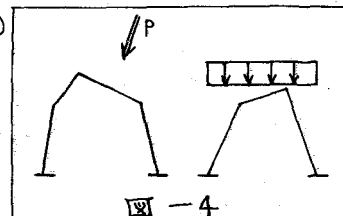


図 - 4

よって式(12)および式(13)が節点Bに集まる不静定力 $M_{11}, M_{12}, \dots, H_{11}, H_{12}, \dots, V_{11}, V_{12}, \dots$ に対応し、かつそれぞれの節点でこれが成立することになる。

さらに弾塑性領域未知数としての a_1 および a_2 などに対しては弾塑性境界条件からえられることになる。すなわち弾性とオ1 弹塑性状態との境界は式(2)で $\alpha = \beta$ より $m = 1 - n \dots (14)$ またオ1 とオ2 弹塑性状態の境界は式(2)と式(5)で $\alpha = 1 - \beta$ より $m = 1 + n - 2n^2 \dots (15)$ オ2 弹塑性状態の極限としての完全塑性の場合は式(5)で $\alpha = 0$ より $m = 3(1-n)/2 \dots (16)$ したがって式(8)と式(14)および式(15)より弾塑性境界としての適合条件式が成立する。

$$\left. \begin{aligned} \frac{M(a_2)}{M_y} &= [F_{AB}a_2 + M_{AB} + M_o(a_2)]\frac{1}{M_y} = 1 - \frac{N_{AB}}{N_y} \\ \frac{M(a_1)}{M_y} &= [F_{AB}a_1 + M_{AB} + M_o(a_1)]\frac{1}{M_y} = 1 + \frac{N_{AB}}{N_y} - 2\left(\frac{N_{AB}}{N_y}\right)^2 \end{aligned} \right\} \quad (17)$$

以上で未知数と洞数の条件式をうることになるが、その算法は逐次近似法を必要とする。

6. 例題

図-5に示す非対称山形ラーメンのB点に集中荷重Pが作用した場合の解法は次のとくである。

まず両端固定条件より

$$x_{AB} = y_{AB} = \theta_{AB} = 0, \quad x_{CB} = y_{CB} = \theta_{CB} = 0$$

ついで節点Bに注目してBA材の基本式は式(11)より

$$\theta_{BA} = D_{BA} - G_{BA}$$

$$x_{BA} = -\sin \mu_{AB} G_{BA} + \cos \mu_{AB} L_{BA}$$

$$y_{BA} = -\cos \mu_{AB} G_{BA} - \sin \mu_{AB} L_{BA}$$

同様にBC材の基本式は式(11)を用いて次式をうる。

$$\theta_{BC} = D_{BC} - G_{BC}, \quad x_{BC} = -\sin \mu_{BC} G_{BC} - \cos \mu_{BC} L_{BC}, \quad y_{BC} = \cos \mu_{BC} G_{BC} - \sin \mu_{BC} L_{BC}$$

これらを式(13)に代入すれば次の連立方程式がえられる。

$$\left. \begin{aligned} D_{BA} - G_{BA} - D_{BC} + G_{BC} &= 0 \\ \sin \mu_{AB} G_{BA} - \cos \mu_{AB} L_{BA} + \sin \mu_{BC} G_{BC} - \cos \mu_{BC} L_{BC} &= 0 \\ \cos \mu_{AB} G_{BA} + \sin \mu_{AB} L_{BA} + \cos \mu_{BC} G_{BC} - \sin \mu_{BC} L_{BC} &= 0 \end{aligned} \right\} \quad (18)$$

しかるに式(12)より M_{BC}, H_{BC}, D_{BC} はそれぞれ M_{BA}, H_{BA}, D_{BA} およびPに置換され、また塑性領域未知数は式(17)を用いて同じく $M_{BA}, H_{BA}, \theta_{BA}$ に換算されるゆえ、結局未知数 $M_{BA}, H_{BA}, \theta_{BA}$ が式(18)を満足するごとく繰り返し試算により算定される。

7. 結語 本論文は弾塑性領域における曲げモーメントと軸力を考慮した精密補足エネルギーを算定して任意増加荷重に適用しうるごとくし、これと用いて変形法の基本式を説明し、多角形平面ラーメンの弾塑性解析と数値積分に基づく逐次近似法により可能なうじめたものである。

(文献) 1) K.H. Gutzle: Deflection of Structures in the Inelastic Range, Mech. Div. A.S.C.E., Vol.83, 1957.

2) Alfredo Hua-Sing Ang: Analysis of Frames with Nonlinear Behavior, Trans. A.S.C.E., Vol.126, 1961

3) 山崎, 石川: 弾塑性領域を考慮したエネルギー法による直線柱たわみ角式の説明, 昭和38年度土学会西部支部研究発表会論文集

4) 山崎, 大庭, 並畠: 軸力と曲げの組合せ応力に対する補足エネルギー; 昭和40年度土木学会西部支部研究発表会論文集

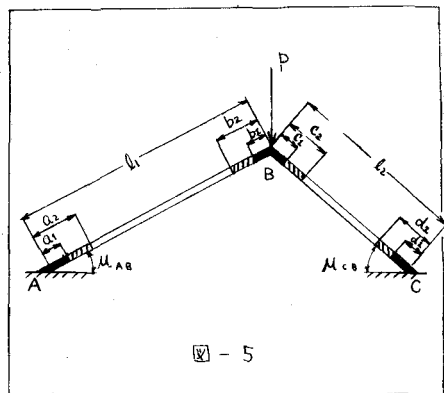


図-5